

ГЛАС

СРПСКЕ КРАЉЕВСКЕ АКАДЕМИЈЕ

CLXXV

ПРВИ РАЗРЕД

86

БЕОГРАД 1937

САДРЖАЈ

1 М. Миланковић, Нови резултати астрономске теорије климатских промена.	1
2 Драгослав С. Митриновић, Истраживања о асимптотским линијама површина	43
3 Драгољуб Марковић, О размацима реалних корена алгебарских једначина.	71
4 Антон Билимовић, Коефицијенат раширености једне области.	77
5 Антон Билимовић, Природна проучавања у геометрији и механици	99
6 Антон Билимовић, О коефицијентима асиметрије.	109
7 Антон Билимовић, О линеарним специјалним каноничним трансформацијама	125
8 Михаило Петровић, Једна врста бројних квази-инваријаната	137
9 Михаило Петровић, О двоструким потенцијалним редовима.	175
10 Д-р Мил. З. Јовичић, Зближавање физичких и хемиског метода истраживања у питању трансмутације елемената.	201
11 В. Жардецки, Примедба о облицима перманентној ротирајуће течне масе.	217
12 В. Жардецки, О условима равнотеже течне масе на којој плива тврсто тело.	223
13 Милош Радојчић, О скупу трансцендентних спонова у близини неког есенцијалног сингуларитета аналитичке функције.	237
14 Јован И. Шел, Коефицијенат прелаза топлоте са лопасте површине на околни ваздух у случају природне конвекције.	249
15 Д-р Н. Салтиков, Теорија тангенцијалних трансформација.	265
16 Јован Карамата, О проширеним аритметичким срединама.	289



Нови резултати астрономске теорије климастких промена.

Од
М. МИЛАНКОВИЋА

НОВИ РЕЗУЛТАТИ АСТРОНОМСКЕ ТЕОРИЈЕ КЛИМАТСКИХ ПРОМЕНА.

Од
М. МИЛАНКОВИЋА

(Приказано на склупу Академије природних наука, 26 децембра 1933 г.).

Увод. Разматрања која сам изложио у својој „Математској теорији климе“¹⁾ нашла су широку примену у радовима климатолога и геолога; нарочито нумерички резултати те теорије постали су полазном тачком многих њихових испитивања. Ти резултати биће овде проширени новима. Да би се до тих нових нумеричких резултата дошло, потребна су нека претходна аналитичка испитивања. Она чине наставак испитивања саопштених у *моме* споменутом делу.

О шаплотним количинама калоричних годишњих доба. Топлотне количине што их Сунце шаље географској ширини φ за време калоричних годишњих доба представљене су у „Математској теорији климе“ обрасцима (122) до (124), т. ј. обрасцима

$$(1) \quad \begin{cases} Q_s = W_s - me \sin \Pi_2 \\ Q_w = W_w + me \sin \Pi_2 \end{cases}$$

$$(2) \quad m = \frac{2(b_0 - b_1 + b_2 - b_3 + \dots) T I_0}{\pi^2 \sqrt{1 - e^2}}.$$

Овом последњем обрасцу могуће је дати и други облик. Уочимо обрасце (46), (47), (44), (71) и (32) споменутог дела, т. ј. обрасце

¹⁾ Milankovitch, Mathematische Klimalehre und Astronomische Theorie der Klimaschwankungen. Band I, Teil A des Köppen-Geigerschen Handbuches der Klimatologie. Berlin, 1930.

$$(3) \quad w = \frac{1}{\pi} \frac{I_0}{\rho^2} \cos \varphi [n \psi_0 \sin \delta + \cos \delta \sin \psi_0]$$

$$(4) \quad n = \tan \varphi$$

$$(5) \quad \cos \psi_0 = -n \tan \delta$$

$$(6) \quad w = \frac{1}{\pi} \frac{I_0}{\rho^2} \left[b_0 + \frac{\pi}{2} \sin \varphi \sin \epsilon \sin \lambda - b_1 \cos 2\lambda + b_2 \cos 4\lambda - b_3 \cos 6\lambda + b_4 \cos 8\lambda + \dots \right]$$

$$(7) \quad \sin \delta = \sin \epsilon \sin \lambda.$$

Ове једначине важе за сваку лонгитуду λ Сунца. За $\lambda=0$ је, због (7),

$$\delta = 0,$$

дакле због (5)

$$\psi_0 = \frac{\pi}{2},$$

па због (3) и (4)

$$(8) \quad w = \frac{1}{\pi} \frac{I_0}{\rho^2} \cos \varphi,$$

а због (6)

$$(9) \quad w = \frac{1}{\pi} \frac{I_0}{\rho^2} [b_0 - b_1 + b_2 - b_3 + b_4 - \dots].$$

Из једначине (8) и (9) следује

$$(10) \quad b_0 - b_1 + b_2 - b_3 + b_4 - \dots = \cos \varphi,$$

па је због (2)

$$m = \frac{2 T I_0}{\pi^2 \sqrt{1 - e^2}} \cos \varphi.$$

Како ексцентрицитет e Земљине путање остаје увек ма-
лен, то можемо његов квадрат поред јединице занемарити
па добивамо:

$$(11) \quad m = \frac{2 T I_0}{\pi^2} \cos \varphi.$$

Кофицијент m не зависи, дакле, од времена.

Обрасци (1) важе за северну хемисферу Земљину; за јужну је:

$$(12) \quad \begin{cases} \bar{Q}_s = W_s + m e \sin \Pi, \\ \bar{Q}_{\nu} = W_{\nu} - m e \sin \Pi. \end{cases}$$

У екваторској зони Земљине површине, и то између географских ширина -15° до $+15^\circ$, нису, због двоструког периодичитета инсолације, летња и зимска полугодина толико јасно изражене као на осталим географским ширинама, па овде није могуће годину расчланити у две једнаке половине, од којих једна обухвата све дане у којима је инсолација јача него у макројем дану друге полугодине. Овде се летња калорична полугодина разликује од зимске тиме што је обухватила јаче изражени максимум инсолације, па тиме максимум топлотних количина што их једна полугодина може да обухвати. Како су функције Q_s и Q_{ν} континуирне на интервалу географских ширина од половина све до екватора, то су помоћу једначина (1) и (12) дефинисане топлотне количине које одговарају калоричним полугодинама и за саму споменуту тропску зону.

Израчунавање секуларних промена количина Q_s и Q_{ν} врши се на овај начин. Применом једначина (123 bis) „Математичке теорије климе“, т. ј. применом једначина

$$(13) \quad \begin{cases} W_s = W_s^0 + \Delta W_s \Delta \epsilon, \\ W_{\nu} = W_{\nu}^0 + \Delta W_{\nu} \Delta \epsilon, \end{cases}$$

добивамо, место (1),

$$(14) \quad \begin{cases} Q_s = W_s^0 + \Delta W_s \Delta \epsilon - m e \sin \Pi, \\ Q_{\nu} = W_{\nu}^0 + \Delta W_{\nu} \Delta \epsilon + m e \sin \Pi. \end{cases}$$

Као полазну епоху за израчунавање секуларних промена Земљине инсолације одабиремо годину 1800,0, јер од те епохе полазе Леверијева и Мишковићева израчунавања секуларних промена астрономских елемената. Означимо ли вредности астрономских елемената e , Π , ϵ за ту годину са e_0 , Π_0 , ϵ_0 , а са W_s^0 и W_{ν}^0 одговарајуће вредности ~~кофицијент~~ W_s и W_{ν} , то је за ту почетну епоху:

$$(15) \quad \begin{cases} Q_s^0 = W_s^0 - m e_0 \sin \Pi_0, \\ Q_{\nu}^0 = W_{\nu}^0 + m e_0 \sin \Pi_0. \end{cases}$$

Секуларне промене количина Q_s и Q_{ν} претстављене су са

$$(16) \quad \Delta Q_s = Q_s - Q_s^0; \quad \Delta Q_{\nu} = Q_{\nu} - Q_{\nu}^0,$$

т. ј. са

$$(17) \quad \begin{cases} \Delta Q_s = \Delta W_s \Delta e - m e_0 \sin \Pi + m e_0 \sin \Pi_0 \\ \Delta Q_{\nu} = \Delta W_{\nu} \Delta e + m e \sin \Pi - m e_0 \sin \Pi_0 \end{cases}$$

$$(18) \quad \Delta e = e - e_0.$$

Уведимо ознаку k_e

$$(19) \quad e \sin \Pi - e_0 \sin \Pi_0 = \Delta (e \sin \Pi),$$

добивамо

$$(20) \quad \begin{cases} \Delta Q_s = \Delta W_s \Delta e - m \Delta (e \sin \Pi), \\ \Delta Q_{\nu} = \Delta W_{\nu} \Delta e + m \Delta (e \sin \Pi). \end{cases}$$

Ове једначине важе за северну хемисферу; за јужну их заменити овима:

$$(21) \quad \begin{cases} \overline{\Delta Q}_s = \Delta W_s \Delta e + m \Delta (e \sin \Pi), \\ \overline{\Delta Q}_{\nu} = \Delta W_{\nu} \Delta e - m \Delta (e \sin \Pi). \end{cases}$$

Помоћу ових образаца могу се израчунати секуларне промене топлотних количина Q_s и Q_{ν} за све географске ширине Земљине површине.

Од велике је користи за просуђивање климе Земљине прошлости израчунати секуларни ход инсолације једно одређене Земљине зоне, која лежи између упоредника φ и φ_2 . То се чини овако.

Уочимо елементарну, бесконачно уску зону Земљине површине која лежи између упоредника φ и $\varphi + d\varphi$, и која има површину

$$(22) \quad df = 2\pi r^2 \cos \varphi d\varphi.$$

Та зона прима за време летње односно зимске калоричне полугодине, а због (1) и (11), ~~и~~ топлотне количине:

$$(23) \quad \begin{cases} dQ_s = Q_s df = 2\pi r^2 \left\{ W_s \cos \varphi d\varphi - \frac{2Tl_0}{\pi^2} e \sin \Pi \cos^2 \varphi d\varphi \right\}, \\ dQ_{\nu} = Q_{\nu} df = 2\pi r^2 \left\{ W_{\nu} \cos \varphi d\varphi + \frac{2Tl_0}{\pi^2} e \sin \Pi \cos^2 \varphi d\varphi \right\}. \end{cases}$$

Зона Земљине површине која лежи између упоредника φ_1 и φ_2 добиваће за време калоричних полугодина ове топлотне количине:

$$(24) \quad \begin{cases} R_s = 2\pi r^2 \left\{ \int_{\varphi_1}^{\varphi_2} W_s \cos \varphi d\varphi - \frac{2Tl_0}{\pi^2} e \sin \Pi \int_{\varphi_1}^{\varphi_2} \cos^2 \varphi d\varphi \right\}, \\ R_{\nu} = 2\pi r^2 \left\{ \int_{\varphi_1}^{\varphi_2} W_{\nu} \cos \varphi d\varphi + \frac{2Tl_0}{\pi^2} e \sin \Pi \int_{\varphi_1}^{\varphi_2} \cos^2 \varphi d\varphi \right\}. \end{cases}$$

Узме ли се у обзир да је

$$\int_{\varphi_1}^{\varphi_2} \cos^2 \varphi d\varphi = \int_{\varphi_1}^{\varphi_2} \frac{1 + \cos 2\varphi}{2} d\varphi = \frac{1}{2} (\varphi_2 - \varphi_1) + \frac{1}{4} (\sin 2\varphi_2 - \sin 2\varphi_1),$$

и да је површина уочене зоне, према (22), једнака

$$F = 2\pi r^2 \int_{\varphi_1}^{\varphi_2} \cos \varphi d\varphi = 2\pi r^2 (\sin \varphi_2 - \sin \varphi_1),$$

~~и~~ следује да јединица површине уочене зоне Земљине површине прима за време калоричних полугодина ~~и~~ топлотне количине:

$$Q_s = \frac{R_s}{F}; \quad Q_{\nu} = \frac{R_{\nu}}{F},$$

т. ј.

$$(25) \quad \left\{ \begin{array}{l} Q_s = \frac{1}{\sin \varphi_2 - \sin \varphi_1} \left\{ \int_{\varphi_1}^{\varphi_2} W_s \cos \varphi d\varphi - \frac{T I_0}{\pi^2} \left[(\varphi_2 - \varphi_1) + \right. \right. \\ \left. \left. + \frac{1}{2} (\sin 2\varphi_2 - \sin 2\varphi_1) \right] e \sin \Pi \right\} \\ Q_{\nu} = \frac{1}{\sin \varphi_2 - \sin \varphi_1} \left\{ \int_{\varphi_1}^{\varphi_2} W_{\nu} \cos \varphi d\varphi + \frac{T I_0}{\pi^2} \left[(\varphi_2 - \varphi_1) + \right. \right. \\ \left. \left. + \frac{1}{2} (\sin 2\varphi_2 - \sin 2\varphi_1) \right] e \sin \Pi \right\}. \end{array} \right.$$

Садашњости одговарају ове количине:

$$\begin{aligned} Q_s^0 &= \frac{1}{\sin \varphi_2 - \sin \varphi_1} \left\{ \int_{\varphi_1}^{\varphi_2} W_s^0 \cos \varphi d\varphi - \frac{T I_0}{\pi^2} \left[(\varphi_2 - \varphi_1) + \right. \right. \\ &\quad \left. \left. + \frac{1}{2} (\sin 2\varphi_2 - \sin 2\varphi_1) \right] e_0 \sin \Pi_0 \right\} \\ Q_{\nu}^0 &= \frac{1}{\sin \varphi_2 - \sin \varphi_1} \left\{ \int_{\varphi_1}^{\varphi_2} W_{\nu}^0 \cos \varphi d\varphi + \frac{T I_0}{\pi^2} \left[(\varphi_2 - \varphi_1) + \right. \right. \\ &\quad \left. \left. + \frac{1}{2} (\sin 2\varphi_2 - \sin 2\varphi_1) \right] e_0 \sin \Pi_0 \right\}. \end{aligned}$$

Користећи се обрасцима (13), (16) и (19), добивамо ове секуларне промене количина Q_s и Q_{ν}

$$(26) \quad \left\{ \begin{array}{l} \Delta Q_s = \frac{1}{\sin \varphi_2 - \sin \varphi_1} \left\{ \Delta \varepsilon \int_{\varphi_1}^{\varphi_2} \Delta W_s \cos \varphi d\varphi - \right. \\ \left. - \frac{T I_0}{\pi^4} \left[(\varphi_2 - \varphi_1) + \frac{1}{2} (\sin 2\varphi_2 - \sin 2\varphi_1) \right] \Delta (e \sin \Pi) \right\} \\ \Delta Q_{\nu} = \frac{1}{\sin \varphi_2 - \sin \varphi_1} \left\{ \Delta \varepsilon \int_{\varphi_1}^{\varphi_2} \Delta W_{\nu} \cos \varphi d\varphi + \right. \\ \left. + \frac{T I_0}{\pi^2} \left[(\varphi_2 - \varphi_1) + \frac{1}{2} (\sin 2\varphi_2 - \sin 2\varphi_1) \right] \Delta (e \sin \Pi) \right\}. \end{array} \right.$$

Топлотна количина Q_T која одговара целој години

$$Q_T = Q_s + Q_{\nu} = W_s + W_{\nu} = W_T$$

подлежи, пошто је $\Delta W_T = \Delta W_s + \Delta W_{\nu}$, овој секуларној промени:

$$(27) \quad \Delta Q_T = \frac{\Delta \varepsilon}{\sin \varphi_2 - \sin \varphi_1} \int_{\varphi_1}^{\varphi_2} \Delta W_T \cos \varphi d\varphi.$$

Одређени интеграли који се појављују у претходним обрасцима израчунавају се помоћу таблице 6 „Математске теорије климе“ механичком квадратуром.

Калорични екватор. Она географска ширина φ на којој су топлотне количине Q_s и Q_{ν} ~~некако~~ једнаке, претставља нам калорични екватор, јер су на њему обе полугодине калорично еквивалентне. Положај калоричног екватора одређује се на овај начин.

Калорични екватор лежи, према његовој дефиницији, на оној географској ширини φ за коју је

$$(28) \quad Q_s = Q_{\nu}.$$

Користећи се обрасцима (1) добивамо:

$$W_s - W_{\nu} = 2me \sin \Pi,$$

дакле, због (11),

$$(29) \quad W_s - W_{\nu} = \frac{4 T I_0}{\pi} e \cos \varphi \sin \Pi.$$

Употребимо једначину (85) „Математске теорије климе“, т. ј. једначину

$$W_s - W_{\nu} = \frac{T}{\pi} \frac{I_0}{\sqrt{1-e^2}} \sin \varphi \sin \varepsilon.$$

У овој једначини можемо, као што је малочас учињено, квадрат малог броја e занемарити поред јединице. Зато је

$$(30) \quad W_s - W_{\nu} = \frac{T I_0}{\pi} \sin \varphi \sin \varepsilon.$$

Из претходних једначина следује:

$$\pi \sin \varphi \sin \varepsilon = 4e \cos \varphi \sin \Pi,$$

т. ј.

$$(31) \quad \tan \varphi = \frac{4e}{\pi} \frac{\sin \Pi}{\sin \varepsilon}.$$

Тим је положај φ калоричног екватора једнозначно одређен.

Веза између топлотних количина калоричних годишњих доба и границе вечног снега. Висинска кота границе вучнога снега у разним крајевима Земље функција је различитих фактора: температуре, количине атмосферских талога, ветрова, морских струја, површинског рељефа и других секундарних утицаја. При испитивању секуларног хода Земљине инсолације и његовог утицаја на висинску коту вучнога снега, ваља узети само први од наведених фактора у обзир, па под секуларним померањем границе вучнога снега разумети оно које је последица промењене инсолације. Искључе ли се, према томе, сви остали фактори или претпостави ли се да су они равномерно распоређени на површини Земље, ~~онда~~ може висински положај границе вучнога снега бити само функција географске ширине. Она ће под том предпоставком, ~~да~~ бити, као што су то увидели већ Хумболд, Бух и Рену, једна од изотермичних површина топлије полуодине, јер једино та полуодина опредељује, при непромењеним осталим факторима, јачину отапања снега, па тиме и његову доњу границу. Под топлијом полуодином имамо да разумемо ону термичку полуодину која одговара калоричној полуодини, т. ј. ону која је обухватила 182,62 дана године у којима је средња дневна температура виша но ма којег дана друге полуодине. Између калоричне и термичне летње полуодине постоји, као што је то у „Математској теорији климе“ теоретски изведен, а опажањима доказано, разлика фазе од 26 дана, т. ј. за тај временски размак заостају екстреми температуре иза екстрема инсолације.

Ради се, дакле, о томе да се одреди веза између инсолације и висинске коте границе вучног снега. Ту ћемо везу наћи на овај начин. Понижено од података, скупљених опажањима, о садањуј средњој висинској коти границе вучнога снега на појединим географским ширинама Земљине површине.

При томе ћемо се послужити диаграмом који Кепен израдио на темељу тих података и који је објављен у Вегенеровом делу о померању континената. У том дијаграму претстављена је средња висинска кота границе вучног снега као функција географске ширине. Упореди ли се тај дијаграм са оним који се добива, ако се топлотне количине Q_s и \bar{Q}_s калоричних летњих полуодина претставе графички као функције географске ширине, ~~онда~~ пада одмах у очи тесна веза која постоји између тих двеју крива: оне су потпуно сличне. Рачунско испитивање показује да између тих двеју крива по-

φ	h	Q_s	a	b	H
90°	100	12669	-1382	-1197	173
85°	175	12675	-1307	-1191	179
80°	300	12733	-1182	-1133	243
75°	475	12859	-1007	-1007	381
70°	700	13074	-782	-792	616
65°	1075	13445	-407	-411	1033
60°	1550	14006	+ 68	+ 140	1636
55°	2100	14573	+ 618	+ 707	2256
50°	2625	15078	+ 1143	+ 1212	2808
45°	3275	15522	+ 1793	+ 1656	3294
40°	3925	15878	+ 2443	+ 2012	3684

стоји корелациони фактор 0,83. Тај би корелациони фактор испао још већи, кад се неће, на што ме је Кепен упозорио, у криву границе вучног снега, у оба максимума те криве, испољио, као ~~онда~~ страни елеменат, утицај отсуства атмосферских талога у сувим зонама које леже с обе стране ек-

ватора. Да би смо тај фактор елиминисали, узећемо у обзир и испитаћемо међусобну везу оних делова тих двеју крива који одговарају интервалу од $\phi=40^\circ$ до $\phi=90^\circ$. Тај део северне хемисфере Земљине покривен је широким континентима, због чега су на њему сви секундарни утицаји подједнако распоређени па не ~~временску~~ везу између инсолације и границе вечног снега. Тај део Земљине површине био је и поприште квартерног леденог доба.

Приложена таблица послужиће нам да нађемо тражену везу. Први стубац те таблице садржи усечене географске ширине, други њен стубац висинске коте h границе вечног снега према Кепеновом диаграму. Трећи стубац садржи топлотне количине Q_s . Четврти стубац садржи отступања a величина h од њихове аритметичке средине. Пети стубац садржи отступања b величина Q_s од њихове аритметичке средине.

Фактор корелације између проучаваних двеју појава дат је изразом:

$$(32) \quad k = \frac{\Sigma ab}{\sqrt{\Sigma a^2} \sqrt{\Sigma b^2}}.$$

Помоћу претходне таблице добива се за тај корелациони фактор ова нумеричка вредност:

$$k = 0,996$$

Тај изванредно високи фактор корелације је математски израз уске везе која постоји између висинске коте границе вечног снега на разним географским ширинама и одговарајућих топлотних количина калоричне летње полугодине.

Да нађемо математски израз за везу између висинске коте границе вечног снега и топлотних количина Q_s , које су количине функције географске ширине, поступићемо овако. Та веза нека буде претстављена, што је због високог фактора корелације могуће, линеарном једначином

$$(33) \quad H = A + BQ_s,$$

где нам H претставља теоретску надморску висину границе вечног снега, а где A и B означају две константе. Нумеричке вредности тих двеју констаната добивају се захтевом да оне посредством теорије најмањих квадрата дадну најмање отсту-

пање између теоретске вредности H и опажањем добивене вредности h висинске коте границе вечног снега. Тај захтев изражен је једначином:

$$(34) \quad \Sigma (H - h)^2 = \text{Minim},$$

т. ј. због (33) једначином:

$$(35) \quad \Sigma (A + BQ_s - h)^2 = \text{Minim}.$$

Одавде следује образовањем извода предњег израза по A и B , и стављајући их једнаке нули,

$$(36) \quad \begin{cases} \Sigma (A + BQ_s - h) = 0 \\ \Sigma (A + BQ_s - h) Q_s = 0. \end{cases}$$

Ако је n број датих података за h односно за Q_s , то добивамо место предњих једначина ове две:

$$(37) \quad \begin{cases} nA + B\Sigma Q_s - \Sigma h = 0 \\ A\Sigma Q_s + B\Sigma Q_s^2 - \Sigma h Q_s = 0. \end{cases}$$

Овим двема једначинама одређене су нумеричке вредности од A и B . Користећи се податцима саопштене таблице, добивамо:

$$(38) \quad A = -13.687; \quad B = 1,094.$$

Зато можемо зависност између надморске висине H границе вечног снега претставити једначином:

$$(39) \quad H = 1,094 Q_s - 13687$$

при чему ваља H мерити метрима, а Q_s каноничким јединицама, јер је ~~спомињена~~ таблица израђена помоћу тих јединица.

Секуларна померања границе вечног снега изазвана променама инсолације. Из једначине (38) следује, ако се секуларне варијације количине Q означе са ΔQ_s , а одговарајуће секуларне промене висинске коте границе вечног снега са ΔH

$$\Delta H = 1,094 \Delta Q_s.$$

Ова једначина казује да промена количине Q_s од једне каноничне јединице повлачи за собом промену висинске коте границе вечног снега од 1,094 метра.

Веза између промене ΔQ_s и одговарајуће промене ΔH може се извести и другим, чисто теоретским путем. Једначина (16) на страни 154 „Математске теорије климе“ т. ј. једначина

$$\Delta u = 0,0068 \Delta Q_s$$

даје нам везу између секуларне промене ΔQ_s количине Q_s и њоме проузроковане промене Δu температуре доњег слоја атмосфере. Опажањима је утврђено да је за време летње полугодине потребно попети се за 150 метара да би се дошло у слој атмосфере, хладнији за 1° . Да би се, према томе, после секуларне промене ΔQ_s летње топлотне количине, остало на истој изотермичној површини, т. ј. да би се секуларна промена температуре надокнадила померањем у висину, потребно је попети се за ΔH тако да буде

$$0,0068 \Delta Q_s - \frac{\Delta H}{150} = 0,$$

т. ј.

$$\Delta H = 1,02 \Delta Q_s.$$

Из претходних једначина следује да промени количине Q_s у износу од једне каноничне јединице одговара померање границе вечног снега у износу од 1,02 до 1,09 метара. Ми ћемо се, ради веће сигурности, задовољити доњом границом овог поморања па је, сем тога, заокружити на 1 метар. Зато можемо казати:

Секуларни ход померања границе вечног снега, изазваних променама инсолације, претстављен је секуларним ходом топлотних количина летње калоричне полугодине, ако се каноничне јединице, употребљене за претстављање тога секуларног хода, сматрају за метре. Секуларне промене топлотних количина летње полугодине, саопштене у таблици 15 „Математске теорије климе“ и оне које су саопштене у наредној таблици претстављају, ~~тако~~, у исти мах, секуларна соларна померања границе вечног снега, мерена метрима. При томе знак + претставља померање границе вечног снега у вис, а знак — померање на доле.

Неке примедбе о топлотним количинама калоричних годишња доба на тропским географским ширинама. У „Математској теорији климе“ одређене су границе t_1 и t_2 кало-

ричних полугодина овим критеријумом:

$$(40) \quad t_2 = t_1 + \frac{T}{2},$$

$$(41) \quad w(t_2) = w(t_1).$$

Овај критеријум може се и овако интерпретисати: Топлотна количина летње калоричне полугодине претстављена је интегралом

$$(42) \quad Q_s = \int_{t_1}^{t_2} w(t) dt = \int_{t_1}^{t_1 + \frac{T}{2}} w(t) dt.$$

Образујемо ли извод овог израза по t_1 , ~~тако~~ добивамо

$$(43) \quad \frac{dQ_s}{dt_1} = w\left(t_1 + \frac{T}{2}\right) - w(t_1) = w(t_2) - w(t_1),$$

па ~~тако~~ зато услов (41) не казује ништа друго но

$$(44) \quad \frac{dQ_s}{dt_1} = 0,$$

т. ј. да почетак летње калоричне полугодине буде тако одабран да одговарајућа топлотна количина те полугодине достигне своју екстремну вредност.

Како је

$$(45) \quad \frac{d^2Q_s}{dt_1^2} = w'(t_2) - w'(t_1),$$

и како је на вантропским географским ширинама у почетку летње полугодине инсолација w у порасту, а на крају те полугодине у опадању, то је

$$(46) \quad w'(t_1) > 0; \quad w'(t_2) < 0,$$

дакле

$$(47) \quad \frac{d^2Q_s}{dt_1^2} < 0.$$

Летња калорична година је, према томе, онај интервал године који има одређену сталну дужину $\frac{T}{2}$, а којега је поче-

так одабран тако да топлотна количина те полугодине достигне своју максималну вредност. Зимска калорична полу- година има исту дужину, а њена топлогна количина пала је на минимум.

У екваторској зони, између ширине -15° и $+15^{\circ}$, годишњи ход инсолације нема, као иначе, само један максимум и један минимум, но ~~и~~^и по два. Зато ту услов (46) неће увек бити испуњен, тако да ту израз (47) може постати и позитиван, а у специјалном случају и једнак нули. Ту се, дакле, може десити да количина Q_s достигне свој минимум, а количина Q_w свој максимум. У таквом случају наступа инверзија годишњих доба: тропска ширина уочене хемисфере прима у доба летње полугодине те хемисфере мању топлотну количину но у доба зимске полугодине. Тада случај $Q_s < Q_w$ имаће своју локалну границу на оној географској ширини на којој је

$$Q_s = Q_w,$$

а то значи на калоричном екватору. Географске ширине на којима су се појавиле инверзије годишњих доба паде су с оне стране калоричног екватора, па припадају термички другој хемисфери.

Промене топлотне количине летње полугодине и поме- рања границе вечног снега, изазвана променама рефлексионе способности Земљине површине. Ширењем поларних снежних калота и стварањем ледених покривача и ван области тих калота, мењала се у току векова геолошке прошлости реф- лексиона способност Земљине површине, а то је имало, као што је Вунт доказао у једној својој расправи¹⁾, знатног ути- цаја на топлотне количине које је Земља примала од Сунца и употребљавала за своје термичко газдинство. Покушајмо да, чинећи извесне претпоставке, ту појаву испитамо одуђем математске анализе.

Уочимо једну ограничenu област Земље, довољно велику да се на њој могу образовати локалне температуре. Та област нека има површину F_0 . Део F_1 те области нека буде, и за време летње полугодине, покрiven вечним снегом. Рефлекси-

¹⁾ Wundt, Aenderungen der Erdalbedo während der Eiszeit. Meteorol Zeitschr. 1935.

она способност снегом покривених предела нека буде R , а оних који нису снегом покривене нека буде R_0 . Онда су од- говорајуће апсорпционе способности претстављене са:

$$(48) \quad a = 1 - R; \quad a_0 = 1 - R_0.$$

Апсорпциона способност уочене области F_0 у њеном данашњем стању је

$$(49) \quad A_0 = F_1 a + (F_0 - F_1) a_0.$$

У доба t геолошке прошлости нека буде део F површи- не F_0 покрiven снегом. Онда је апсорпциона способност об- ласти F_0 била

$$(50) \quad A = Fa + (F_0 - F) a_0.$$

Промена те апсорпционе способности и доба t према њеном садашњем стању претстављена је са

$$(51) \quad A - A_0 = (F - F_1) (a - a_0)$$

или, прерачувано на јединицу површине уочене области,

$$(52) \quad \Delta a = (a - a_0) \frac{F - F_1}{F_0}.$$

У доба t геолошке прошлости ће та јединица површине, а за време летње полугодине, тада део сунчевих зрака, који на њу падну, више апсорбовати него сада.

Сунчеви зраци, пролазећи кроз Земљину атмосферу, слабе се у њој на начин, изложен у §§ 19 и 20 „Математске теорије климе“ тако да ће само један део тих зрака, у виду директних и дифузних зрака, стићи до Земљине површине. Тада нека буде означен са χ , тако да ће од топлотне ко- личине Q_s стићи до Земљине површине количина χQ_s , при- чему је $\chi < 1$. То се дешава при ненаоблаченом небу. Ако је, према томе, средња наоблаченост неба уочене области за време летње полугодине, изражена у процентима, једнака B , то ће јединици површине уочене области за време летње полугодине бити упућена топлотна количина

$$(53) \quad Q'_s = \frac{100 - B}{100} \chi Q_s.$$

или, ако ставимо

(54)

$$\frac{100-B}{100} = k,$$

топлотна количина

(55)

$$Q_s' = k\chi Q_s.$$

Од те количине ће, због промене рефлексионе способности Земљине површине, бити у доба t геолошке прошлости овај део више апсорбован но сада:

(56)

$$\Delta_2 Q_s = k\chi \Delta a Q_s.$$

Тај део претставља секуларни вишак топлотних летњих количина, употребљен за термичко газдинство Земље, као последица промене рефлексионе способности Земљине површине. Са вишком $\Delta_1 Q_s$ летњих топлотних количина, проузрокованим секуларним променама астрономских елемената, добивамо овај целокупни вишак:

(57)

$$\Delta Q_s = \Delta_1 Q_s + \Delta_2 Q_s,$$

т. ј. због (56), (52) и (16)

(58)

$$\Delta Q_s = \Delta_1 Q_s + k\chi (a - a_0) \frac{F - F_1}{F_0} (Q_s^0 + \Delta_1 Q_s).$$

Узме ли се у обзир да је

$$k < 1; \quad \chi < 1; \quad a < 1; \quad a_0 < 1; \quad \frac{F - F_1}{F_0} < 1,$$

то је дозвољено, ако се последњи члан десне стране ове једначине развије, коефицијент $k\chi(a - a_0) \frac{F - F_1}{F_0}$ од $\Delta_1 Q_s$, који ће се овде појавити, занемарити поред коефицијента један првог члана. Зато је

(59)

$$\Delta Q_s = \Delta_1 Q_s + k\chi (a - a_0) \frac{F - F_1}{F_0} Q_s^0$$

т. ј.

(60)

$$\Delta_2 Q_s = k\chi (a - a_0) \frac{F - F_1}{F_0} Q_s^0.$$

О нумеричким вредностима коефицијената k , χ , a и a_0 имамо ове податке.

Коефицијент k дат је једначином (54) па је зато његова нумеричка вредност дата климатолошким податцима о средњој летњој наоблачености уочене области.

Нумеричка вредност коефицијента χ може се одредити помоћу таблици 9 и 3 „Математске теорије климе“ на овај начин. Помоћу таблице 9 израчунате је летња топлотна количина уочене области при трансмисионом коефицијенту $p = 0,8$, а помоћу таблице 3 она која одговара трансмисионом коефицијенту $p = 1$. Квоцијентих количина даје ~~неку~~ нумеричку вредност коефицијента χ .

Нумеричка вредност апсорпционе способности a снежног или леденог покривача Земљиног тек је недавно одређена на поуздан начин¹⁾). Та је способност за свежи снег 0,3, за стари снег 0,5, а за ледењак 0,6. За a ваља ставити средину последњих двају бројева, т. ј.

$$a = 0,55.$$

За a_0 ваља, према споменутој радњи Вунта, ставити

$$a_0 = 0,94,$$

ја је зато

$$a - a_0 = -0,39.$$

У обрасцу (60) F је секуларно променљива величина. Јер чим се, услед секуларне промене $\Delta_1 Q_s$ за извесан број калорија, граница вечног снега помери, ~~кажимо~~ према доле, за толики број метара, покриће вечно снег нове делове уочене области. Зато ће се променити и површина F , а са њоме и количина $\Delta_2 Q_s$, што ће опет бити пропраћено новим померањем границе вечног снега и новим проширењем залеђене области. При датој конфигурацији уочене области, може се та појава пратити рачуном корак по корак. Такав ~~је~~ посао, на пример испитивање промена залеђености алпийских предела, предмет је специјалних студија па прекорачава оквир ове расправе. Но овде је могуће најзначајнију појаву таквих промена залеђености, ону која се испољила у проширавању и сужавању поларних снежних калота Земљиних, подврхи математској анализи.

¹⁾ Devaux, L'économie radic-thermique des champs de neige et des glaciers. Paris 1933.

Уочимо северну поларну калоту Земљине површине, ограничену упоредником φ_0 . Чинимо претпоставку да је та калота, или бар уочени њен сектор, покривен уравњеним континентом. Онда ће снежни покривач те калоте, проузрокован соларном температуром бити такође ограничен једним упоредником. Граница тога покривања нека лежи сада на упореднику φ_1 , а нека је у доба t_1 геолошке прошлости лежала на упореднику φ . Онда је, ако рачунамо, једноставности ради, са целокупном калотом,

$$(61) \quad \begin{cases} F_0 = 2\pi r^2 (1 - \sin \varphi_0), \\ F_1 = 2\pi r^2 (1 - \sin \varphi_1), \\ F = 2\pi r^2 (1 - \sin \varphi). \end{cases}$$

Овде је F секуларно променљиво, т. ј. функција времена t . Ту зависност можемо одредити на овај начин.

У доба t_1 геолошке прошлости када је уочена калота примала од Сунца најмању количину летње топлоте, рецимо количину $Q_s^{(m)}$, нека се њен снежни покривач проширио до упоредника φ_m . Оправдано је претпоставити да је то проширење покривача према његовом данашњем стању пропорционално дефициту летње топлотне количине. Означимо ли, према томе, поларна отстојања границе снежног покривача, т. ј. колатитуде са δ_1 и δ_m , то данашњем стању одговара вредност

$$(62) \quad \delta_1 = 90^\circ - \varphi_1,$$

а добу t_1 геолошке прошлости вредност

$$(63) \quad \delta_m = 90^\circ - \varphi_m.$$

Разлика ових двеју вредности ($\delta_m - \delta_1$) треба да буде пропорционална дефициту $Q_s^0 - Q_s^{(m)}$ топлотних количина. Зато је

$$(64) \quad \delta_m - \delta_1 = K (Q_s^0 - Q_s^{(m)}),$$

где K означава фактор пропорционалитета.

Узимајући у обзир (16), (62), (63), добивамо

$$(65) \quad \varphi_m - \varphi_1 = K \Delta Q_s^{(m)},$$

И у међувремену морало је проширење снежног покривача бити пропорционално дефициту летње топлотне количине. Зато је

$$(66) \quad \varphi - \varphi_1 = K \Delta_1 Q_s,$$

при чему је K дато једначином (65).

Добивамо, дакле,

$$(67) \quad \varphi = \varphi_1 + K \Delta_1 Q_s.$$

Ставимо ли (67) у (61), а ово у (60), добивамо

$$(68) \quad \Delta_2 Q_s = k \chi (a - a_0) \frac{\sin \varphi_1 - \sin (\varphi_1 + K \Delta_1 Q_s)}{1 - \sin \varphi_0} Q_s.$$

Помоћу овог обрасца, а служећи се табличом 15 „Математске теорије климе“, могу се израчунати проширења поларног снежног покривача Земљиног и промене $\Delta_2 Q_s$ летњих топлотних количина уочене калоте Земљине, изазване ширењем и сужавањем тог покривача.

Нумерички резултати. Обрасци, изведени у овој расправи, послужили су да се дође до неких нових нумеричких резултата који допуњују рачуне о секуларном ходу инсолације Земље, саопштене у „Математској теорији климе“.

Како је појам калоричних годишњих доба и одговарајућих топлотних количина претходним расуђивањима проширен и на екваторску зону Земљине површине, то је таблица коефицијената m , ~~стапака~~ на страни 51 споменутог дела, употребљена подацима и за географске ширине од 0° , 5° и 10° . Тако употребљена таблица саопштена је под бројем 1 међу табличама које се налазе на kraju ове расправе. Затим је таблица 14 на страни 127 споменутог дела употребљена подацима за наведене географске ширине и саопштена на kraju ове расправе под бројем 2.

Користећи се тим табличама, могло се приступити израчунавању секуларног хода инсолације географских ширина $\pm 5^\circ$ и $\pm 15^\circ$. Резултати тог рачуна саопштени су у наредној таблици 3. Она чини допуну таблице 15 „Математске теорије климе“.

Сада, када је добивена веза између секуларних промена летњих топлотних количина и померања границе вечнога снега, и када је показано да свакој промени те летње коли-

чине од једне каноничне јединице одговара померање границе венчог снега од бар једног метра, при чему знак + значи померање те границе у вис, а знак — померање те границе на доле, лакше је увидети последицу секуларног хода инсолације Земље. ~~саопштена~~ Таблица 3 показује да су померања границе венчога снега у току геолошке прошлости и у тропским крајевима Земље била осетна и да су прекорачавала кадгод величину од хиљаду метара. Тиме је обеснажено мишљење да се секуларним ходом инсолације Земље не могу растумачити померања границе венчог снега у тропским крајевима Земље. И та померања су природна последица секуларног хода инсолације и могу се, са овим заједно, израчунати и пратити кроз векове, што је учињено таблициом 3.

У таблици 4 саопштени су подаци о секуларним померањима калоричног екватора у току минулих 600 хиљада година. Та померања била су доста осетна, достигнући износ од $8^{\circ}13'$. За време споменутог интервала прекорачио је калорични екватор 13 пута упоредник од $+5^{\circ}$ и 14 пута упоредник од -5° . У сваком таквом случају наступила је на једном или другом од тих упоредника инверзија годишњих доба. Топлотна количина која је одговарала летњој полуодини уочене хемисфери постала је на тим упоредницима мања од топлотне количине зимске полуодине. То следује и из таблици 2 и 3. Ваља само данашњим топлотним количинама тих упоредника, саопштеним у таблици 2, додати њихове секуларне промене, саопштене у таблици 3 па ће се онда показати да је у споменутим случајевима топлотна количина коју смо назвали летњом, постала мања од зимске. Значи да је уочени упоредник у доба летње полуодине његове хемисфере имао, у ствари, своју зимску полуодину, јер је, нашавши се с оне стране калоричног екватора, термички припадао другој хемисфери.

У таблици 5 саопштене су секуларне промене сунчаних топлотних количина, примљених за време летње полуодине од северне поларне калоте Земљине, ограничене упоредником од 55° , узимајући у обзир одговарајуће промене рефлексионе способности Земље. У колони 2 те таблице саопштене су промене $\Delta_1 Q_s$ летње топлотне количине Q_s , изазване једино променама астрономских елемената. Те су про-

мене израчунате помоћу обрасца (26). Са $\varphi_1 = 55^{\circ}$; $\varphi_2 = 90^{\circ}$ увођењем каноничних јединица за које је $I_0 = 1$; $T = 100000$ и механичком квадратуром израза $\int_{\varphi_1}^{\varphi_2} \Delta W_s \cos \varphi d\varphi$ помоћу таб-

лице 6 „Математске теорије климе“, добивамо за (26) овај образац

$$(69) \quad \Delta_1 Q_s = 361 \Delta \varepsilon - 7901 \Delta (e \sin \Pi),$$

помоћу којега су, а користећи се табличом 13 „Математске теорије климе“, те промене израчунате.

У колони 3 таблице 5 саопштене су промене $\Delta_2 Q_s$ летње топлотне количине Q_s , изазване променом рефлексионе способности уочене калоте. Те су промене израчунате на овај начин.

Користећи се податцима таблици 3 и 9 „Математске теорије климе“, добива се, употребом обрасца (25) да је однос топлотних количина, примљених од уочене калоте за време летње полуодине при трансмисионом кофицијенту атмосфере $p = 0,8$ односно $p = 1$, једнак 0,60. Зато ваља ставити $\chi = 0,60$. Средња облачност неба над уоченом калотом за време летње полуодине је $B = 55$. Зато је, према (54), $k = 0,45$. Рекли смо да је $a - a_0 = -0,39$, а помоћу таблици 2 може се израчунати да је данашња средња летња инсолација северне калоте, ограничене упоредником $\varphi_0 = 55^{\circ}$, једнака $Q_s^0 = 13515$. Употребом тих података, добива једначина (68) овај облик

$$\Delta_2 Q_s = -7869 [\sin \varphi_1 - \sin (\varphi_1 + K \Delta_1 Q_s)].$$

О нумеричким вредностима величина φ_1 и K имамо ове податке. На северној хемисфери лежи данас, према податцима у споменутој расправи Вунта, граница снежне калоте просечно на географској ширини $\varphi_1 = 75^{\circ}$. Према истим податцима спустила се та граница у току ледених доба просечно до 55 степена. Да се то десило пре 230 хиљада година, следоваће из резултата нашег рачуна. Тада је, као што то следује из таблице 15 „Математске теорије климе“, $Q_s^{(m)}$ било за 659 каноничних јединица мање од Q_s^0 . Зато добивамо, применом обрасца (65),

$$55^\circ - 75^\circ = -K 659,$$

т. ј. $K = 1'821$. Зато је

$$(70) \quad \Delta_2 Q_s = 7869 [\sin(75^\circ + 1'821 \Delta_1 Q_s) - \sin 75^\circ].$$

При употреби овог обрасца ваља имати још ово у виду. Снежна калота Земљина ићезла је, уз претпоставку равног када је φ достигло вредност увек онда сасвим, једначину (66) $\varphi = 90^\circ$; $\varphi_1 = 75^\circ$ $K = 1'821$, добивамо $\Delta_1 Q_s = 494$. Са том вредности ~~$\Delta_1 Q_s$~~ добивамо, помоћу једначине (70), $\Delta_2 Q_s = 268$. То је максимална вредност позитивног ефекта промена снежне калоте и она важи за све вредности $\Delta_1 Q_s \geq 494$.

Четврта колона таблице 5 садржи збир ΔQ_s топлотних количина $\Delta_1 Q_s$ и $\Delta_2 Q_s$ или средње померање ΔH границе вечног снега на уоченој калоти Земљиној у моменту геолошке прошлости означеном у колони I. Та померања дају, ~~да~~, дакле, целокупни ефекат промена инсолације уочене калоте, изазван променом астрономских елемената, а праћен ширењем снежне калоте.

Та померања достигла су у доба од 230 хиљада година пре садашњости своју максималну вредност од 1800 метара или, ако рачунамо са коефицијентом $B = 1,094$, како он следује према (38) из данашњег распореда границе вечног снега на разним географским ширинама, величину од 2000 метара. Како данас граница вечног снега лежи изнад упоредника од 55° на надморској висини од 2200 метара, то је у оно доба граница вечног снега додирнула на том месту површину континента па се зато снежна калота морала у то доба раширити до тог упоредника, ~~као~~ је то при нашем рачуну било претпостављено, а сада накнадно верификовано. Ширење и сужавање снежне калоте у доба геолошке прошлости налази, према томе, своје потпуно тумачење у променама инсолације северне калоте Земљине.

Резултати, саопштени у колони 5, претстављени су у приложеном дијаграму графички. Из тог дијаграма следује ово.

За време минулих 600 хиљада година померила се граница вечног снега на доле веома осетно девет пута. Та максимална спуштања границе вечног снега одговарају овим

временима: 25; 71,9; 115; 187,5; 230; 435; 475,6; 550; 590,3 хиљада година пре садашњости. То су оне фазе леденога доба које су Кепен и Вегенер у своме делу назвали Вирм III, Вирм II, Вирм I, Рис II, Рис I, Миндел II, Миндел I, Гинц II и Гинц I, а којих је реалност овим рачуном поново, и још очигледније но икад до сада, утврђена.

Исти рачуни као и за северну калоту извршени су и за јужну калоту, ограничenu упоредником од 55° . Према споменутим податцима Вунта лежи на јужној хемисфери граница вечног леда сада на упореднику од 68° , док је у доба њене најјаче раширености она достигла упоредник од 63° . Зато ваља сада у рачуну ставити $\varphi_1 = 68^\circ$, $\varphi_m = 63^\circ$. Проширење јужне снежне калоте било је знатно мање него северне, јер се оно могло дешавати само на рачун мора. Исто тако је и смањивање те калоте било у прошлости малено, јер је велика надморска висина антарктичког континента (средња висина 2200 м.) штитила његов снежни покривач од отапања. Због тога је јужна снежна калота преживела слабије секуларне промене но северна која се могла ширити и сужавати по размерно ниским континентима. Минимум летње инсолације десио се на јужној калоти пре 105,1 хиљада година. Онда је било $\Delta_1 Q_s = -872$ па је зато према једначини (66) $5^\circ = 872K$, т. ј. $K = 0'344$. Зато добивамо, место једначине (70), ~~да~~

$$\Delta_2 Q_s = 8019 [\sin(68^\circ + 0'344 \Delta_1 Q_s) - \sin 68^\circ],$$

при чему је

$$\Delta_1 Q_s = 361 \Delta \varepsilon + 7901 \Delta (e \sin II).$$

Нумерички резултати, добивени применом ових обрасца, претстављени су графички у приложеном дијаграму.

ТАБЛИЦА 1

Нумеричке вредности коефицијента (каноничне јединице)

φ	0°	5°	10°	15°	20°	25°	30°	35°	40°
m	20260	20190	19960	19570	19040	18370	17550	16600	15520
φ	45°	50°	55°	60°	65°	70°	75°	80°	85°
m	14350	15050	11620	10130	8360	6930	5240	3520	1770

ТАБЛИЦА 2

Топлотне колицине калоричних полугодина.
Година 1800; каноничне јединице

Географска ширина	Север. хемисфера		Јужна хемисфера	
	Летња полуго- дина	Зимска полуго- дина	Летња полуго- дина	Зимска полуго- дина
0°	15601	14950	15601	14950
5°	15455	14997	16102	14398
10°	15895	14286	16487	15625
15°	16109	15476	16757	12828
20°	16281	15577	16912	11946
25°	16545	11595	16955	10987
30°	16294	10558	16876	9956
35°	16179	9418	16689	8868
40°	15878	8244	16292	7720
45°	15522	7053	15997	6558
50°	15078	5799	15310	5367
55°	14573	4474	14958	4189
60°	14006	3563	14342	3027
65°	13455	2250	13758	1966
70°	13074	1592	13304	1163
75°	12849	789	13033	615
80°	12755	566	12850	250
85°	12675	99	12753	41
90°	12669	7	12673	0

ТАБЛИЦА 3

(Наставак таблице 15 „Математске теорије климе“)

Секуларни ход инсолације у тропској зони.
Промене топлотних количина калоричних полугодина
(каноничне јединице)

Хиљаде година пре 1800 по Хр.	Географска ширина							
	Летња полугодина				Зимска полугодина			
	+5°	+15°	-5°	-15°	+5°	+15°	-5°	-15°
0,6	- 8	- 5	+ 4	+ 7	+ 1	- 1	- 11	- 13
5	+231	+253	-265	-235	-288	-304	+208	+182
10	+672	+687	-718	-659	-752	-760	+558	+586
11,1	+693	+705	-735	-681	-764	-769	+664	+617
15	+495	+495	-515	-483	-530	-527	+480	+451
20	+ 49	+ 12	- 3	- 38	+ 50	+ 60	+ 82	+110
22,1	+ 24	- 56	+ 52	-- 8	+107	+155	+ 79	+127
25	+179	+1C5	- 87	-155	-- 25	+ 39	+243	+297
30	+635	+554	-557	-600	-501	-432	+691	+722
32,7	+663	+592	-597	-650	-549	-488	+711	+754
35	+597	+536	-541	-568	-501	-448	+637	+656
40	+511	+289	-295	-299	-284	-265	+522	+523
45	+507	+141	-155	-113	-190	-216	+ 72	+ 38
47,1	+ 88	+121	-134	- 95	-166	-191	+ 56	+ 25
50	+129	+157	-169	-135	-199	-250	+ 99	+ 70
55	+395	+381	-393	-383	-391	-577	+597	+587
60	+396	+354	-668	-670	-647	-609	+717	+715
60,6	+712	+366	-680	-684	-658	-618	+754	+732
65	+517	+457	-461	-491	-420	-370	+558	+578
70	- 68	-123	+142	+ 81	+193	+256	- 17	+ 32
71,9	-177	-297	+247	+185	+298	+556	-156	- 76

ТАБЛИЦА 3
(Наставак)

Хиљаде година пре 1800 по Хр.	Летња полугодина				Зимска полугодина			
	Географска ширина							
	+5°	+15°	-5°	-15°	+5°	+15°	-5°	-15°
75	- 3	- 49	+ 61	+ 15	+ 102	+ 159	+ 58	+ 75
80	+ 803	+ 762	- 785	- 774	- 770	- 732	+ 816	+ 804
89,8	+ 1018	+ 939	- 1022	- 937	- 1024	- 994	+ 1016	+ 982
85	+ 901	+ 889	- 921	- 877	- 956	- 991	+ 886	+ 845
90	- 17	+ 19	- 29	+ 7	- 62	- 91	- 50	- 79
94	- 450	- 399	+ 402	+ 427	+ 367	+ 394	- 485	- 502
95	- 426	- 376	+ 578	+ 404	+ 343	+ 300	- 461	- 480
100	+ 400	+ 379	- 388	- 585	- 380	- 361	+ 408	+ 403
105,1	+ 159	+ 1045	- 1063	- 1089	- 1009	- 927	+ 1195	+ 1207
110	+ 494	+ 417	- 414	- 465	- 357	- 292	+ 551	+ 588
115	- 306	- 355	+ 580	+ 311	+ 453	+ 470	- 253	- 196
116,1	- 340	- 335	+ 412	+ 343	+ 463	+ 496	- 289	- 232
120	+ 49	+ 10	+ 1	- 58	+ 36	+ 67	+ 84	+ 115
125	+ 804	+ 792	- 820	- 782	- 831	- 816	+ 795	+ 758
127,7	+ 952	+ 925	- 962	- 907	- 984	- 973	+ 910	+ 859
130	+ 802	+ 812	- 846	- 786	- 877	- 880	+ 771	+ 718
135	+ 158	+ 171	- 182	- 157	- 199	- 208	+ 141	+ 120
140	- 186	- 186	+ 194	+ 182	+ 200	+ 199	- 180	- 169
145	+ 208	+ 167	- 164	- 193	- 152	- 99	+ 240	+ 261
150	+ 797	+ 726	- 737	- 762	- 693	- 632	+ 841	+ 856
152,2	+ 893	+ 823	- 839	- 855	- 800	- 738	+ 952	+ 940
155	+ 771	+ 710	- 723	- 738	- 690	- 637	+ 804	+ 811
160	+ 96	+ 82	- 82	- 90	- 72	- 61	+ 106	+ 111
164,3	- 285	- 266	+ 275	+ 274	+ 264	+ 247	- 294	- 295
165	- 284	- 261	+ 266	+ 271	+ 254	+ 235	- 296	- 297

ТАБЛИЦА 3
(Наставак)

Хиљаде година пре 1800 по Хр.	Летња полугодина				Зимска полугодина			
	Географска ширина							
	+5°	+15°	-5°	-15°	+5°	+15°	-5°	-15°
170	+ 564	+ 282	- 298	- 262	- 522	- 534	+ 240	+ 210
175	+ 1005	+ 990	- 1025	- 978	- 1040	- 1022	+ 990	+ 946
176,5	+ 1057	+ 1032	- 1067	- 1026	- 1075	- 1046	+ 1049	+ 1010
180	+ 759	+ 701	- 719	- 713	- 706	- 672	+ 752	+ 742
185	- 255	- 282	+ 301	+ 254	+ 335	+ 357	- 219	- 179
187,5	- 459	- 488	+ 515	+ 456	+ 554	+ 574	- 480	- 370
190	- 271	- 310	+ 331	+ 274	+ 374	+ 403	- 228	- 181
195	+ 834	+ 762	- 774	- 796	- 732	- 670	+ 876	+ 888
198,5	+ 1226	+ 1159	- 1188	- 1181	- 1160	- 1099	+ 1254	+ 1241
200	+ 1144	+ 1085	- 1114	- 1105	- 1093	- 1039	+ 1165	+ 1149
205	+ 82	+ 95	- 100	- 85	- 112	- 120	+ 70	+ 55
209,6	- 558	- 502	+ 508	+ 532	+ 475	+ 485	- 593	- 609
210	- 555	- 496	+ 501	+ 526	+ 463	+ 414	- 591	- 608
215	+ 115	+ 152	- 167	- 192	- 204	- 235	+ 78	+ 41
220	+ 1110	+ 1079	- 1116	- 1077	- 1119	- 1087	+ 1107	+ 1069
220,8	+ 1126	+ 1088	- 1122	- 1092	- 1118	- 1079	+ 1132	+ 1101
225	+ 619	+ 553	- 555	- 591	- 509	- 453	+ 665	+ 691
230	- 219	- 286	+ 315	+ 230	+ 382	+ 435	- 152	- 85
232,4	- 254	- 319	+ 344	+ 264	+ 408	+ 456	- 190	- 124
235	+ 41	- 21	+ 37	- 25	+ 93	+ 142	+ 97	+ 146
240	+ 723	+ 663	- 673	- 691	- 638	- 586	+ 758	+ 768
242,2	+ 788	+ 747	- 768	- 759	- 755	- 717	+ 801	+ 789
245	+ 677	+ 658	- 679	- 656	- 681	- 661	+ 675	+ 653
250	+ 25	+ 291	- 279	- 299	- 317	- 344	+ 187	+ 146
255	+ 64	+ 88	- 98	- 68	- 122	- 140	+ 40	+ 16

ТАБЛИЦА 3
(Наставак)

Хиљаде година пре 1800 по Хр.	Летња полугодина				Зимска полугодина			
	Географска ширина							
	+5°	+15°	-5°	-15°	+5°	+15°	-5°	-15°
256,5	+ 72	+ 86	- 94	- 74	- 09	- 119	+ 57	+ 41
260	+167	+156	-161	-160	-156	-145	+172	+171
265	+419	+382	-389	-400	-367	-335	+441	+447
270	+399	+354	-645	-666	-603	-547	+739	+753
270,7	+719	+652	-661	-686	-620	-563	+760	+775
275	+520	+453	-454	-491	-407	-350	+567	+594
280	- 76	-112	+126	+ 84	+160	+188	- 42	- 8
281,8	-174	-196	+210	+176	+535	+252	-149	-190
285	+ 2	- 7	+10	+ 1	+ 18	+ 26	+ 10	+ 18
290	+775	+770	-799	-756	-815	-806	+759	+750
292,7	+955	+951	-989	-951	-1013	-1003	+931	+879
295	+813	+318	-855	-794	-885	-883	+785	+799
300	- 55	- 25	+ 19	+ 45	- 5	- 27	- 77	- 97
303,1	-337	-327	+357	+327	+358	+598	-536	-596
305	-216	-231	+244	+215	+265	+276	-195	-170
310	+385	+606	-611	-650	-558	-492	+738	+764
313,3	+991	+906	-921	-946	-872	-798	+1040	+1054
315	+900	+320	-859	-860	-781	-716	+948	+964
320	+ 92	+ 44	- 34	- 78	+ 6	+ 45	+132	+167
323,3	-170	-192	+206	+172	+532	+243	-144	-116
325	- 81	- 97	+105	+ 83	+193	+156	- 63	- 44
330	+ 63	+ 88	- 98	- 72	-118	- 53	+ 48	+ 27
332,8	+736	+737	-766	-719	-788	-764	+714	+672
335	+321	+522	-647	-603	-666	-663	+602	+565
340	+ 85	+ 82	- 85	- 82	- 84	- 81	+ 86	+ 83

ТАБЛИЦА 3
(Наставак)

Хиљаде година пре 1800 по Хр.	Летња полугодина				Зимска полугодина			
	Географска ширина							
	+5°	+15°	-5°	-15°	+5°	+15°	-5°	-15°
342,1	+ 1	- 7	+ 9	+ 1	+17	+ 24	+ 9	+ 16
345	+177	+151	-151	-165	-153	-112	+195	+204
350	+666	+505	-614	-635	-578	-526	+702	+714
350,9	+688	+527	-636	-657	-599	-546	+725	+738
355	+414	+358	-358	-390	-318	-270	+454	+478
359,9	- 13	- 39	+ 47	+ 19	+ 71	+ 91	+ 11	+ 55
360	- 15	- 41	+ 49	+ 21	+ 72	+ 92	+ 8	+ 50
365	+366	+557	-568	-555	-370	-560	+364	+352
369,6	+729	+728	-757	-712	-776	-770	+710	+670
370	+726	+726	-756	-710	-776	-772	+706	+664
375	+270	+291	-508	-969	-534	-349	+244	+211
379,7	- 81	- 65	+ 65	+ 75	+ 54	+ 41	- 92	- 99
380	- 73	- 64	+ 64	+ 72	+ 54	+ 42	- 88	- 94
385	+398	+557	-562	-579	-555	-501	+425	+435
389,6	+717	+647	-655	-685	-612	-552	+760	+778
390	+715	+641	-649	-679	-603	-542	+759	+778
395	+519	+251	-246	-289	-199	-148	+359	+392
399,2	+117	+ 67	- 57	-101	- 14	+ 26	+160	+194
400	+152	+ 85	- 74	-117	- 52	+ 8	+174	+203
405	+447	+417	-425	-429	-410	-383	+462	+465
407,7	+488	+477	-494	-475	-497	-485	+485	+467
410	+404	+415	-432	-397	-452	-457	+384	+355
415	+146	+181	-198	-151	-235	-262	+109	+ 70
415,5	+141	+175	-191	-145	-298	-254	+104	+ 66
420	+368	+588	-408	-564	-437	-451	+339	+301

ТАБЛИЦА 3
(Наставак)

Хиљаде година пре 1800 по Хр.	Летња полугодина				Зимска полугодина			
	Географска ширина							
	+5°	+15°	-5°	-15°	+5°	+15°	-5°	-15°
424	+ 603	+ 589	- 609	- 585	- 614	- 598	+ 598	+ 576
425	+ 609	+ 588	- 607	- 590	- 605	- 585	+ 611	+ 593
426	+ 208	+ 157	- 152	- 191	- 111	- 70	+ 249	+ 578
427,6	- 65	- 125	+ 145	+ 79	+ 201	+ 247	- 9	+ 45
428	- 58	- 190	+ 140	+ 72	+ 199	+ 248	+ 1	+ 56
429	+ 602	+ 533	- 536	- 571	- 489	- 430	+ 649	+ 674
430	+ 963	+ 896	- 915	- 924	- 881	- 892	+ 997	+ 998
431	+ 945	+ 886	- 907	- 906	- 882	- 831	+ 968	+ 961
432	+ 104	+ 105	- 110	- 103	- 113	- 115	+ 101	+ 95
433,8	- 440	- 395	+ 400	+ 419	+ 371	+ 332	- 469	- 439
434	- 441	- 395	+ 399	+ 419	+ 369	+ 329	- 471	- 485
435	+ 149	+ 165	- 175	- 149	- 194	- 205	+ 130	+ 109
436	+ 477	+ 455	- 467	- 461	- 461	- 441	+ 483	+ 475
437,4	+ 488	+ 465	- 478	- 471	- 470	- 448	+ 496	+ 488
438	+ 415	+ 379	- 385	- 395	- 365	- 334	+ 455	+ 440
439	- 426	- 450	+ 474	+ 429	+ 508	+ 524	- 392	- 348
440,6	- 435	- 460	+ 485	+ 432	+ 519	+ 536	- 401	- 356
441	+ 186	+ 157	- 130	- 169	- 90	- 50	+ 226	+ 296
442	+ 1059	+ 999	- 1025	- 1021	- 997	- 943	+ 1085	+ 1077
443,1	+ 1053	+ 997	- 1023	- 1015	- 1002	- 951	+ 1074	+ 1061
444	+ 596	+ 573	- 590	- 577	- 586	- 564	+ 600	+ 586
445	- 120	- 100	+ 98	+ 112	+ 83	+ 66	- 135	- 146
446,1	- 156	- 132	+ 130	+ 146	+ 113	+ 95	- 173	- 185
447	+ 42	+ 64	- 72	- 46	- 94	- 111	+ 20	- 1
448	+ 550	+ 524	- 544	- 516	- 555	- 545	+ 591	+ 495
449,2	+ 628	+ 596	- 612	- 606	- 600	- 570	+ 640	+ 632

ТАБЛИЦА 3
(Наставак)

Хиљаде година пре 1800 по Хр.	Летња полугодина				Зимска полугодина			
	Географска ширина							
	+5°	+15°	-5°	-15°	+5°	+15°	-5°	-15°
510	+ 578	+ 534	- 544	- 554	- 520	- 481	+ 602	+ 607
511	+ 419	+ 358	- 357	- 394	- 314	- 263	+ 462	+ 489
512	+ 314	+ 265	- 264	- 295	- 228	- 188	+ 350	+ 372
513	+ 139	+ 107	- 105	- 127	- 77	- 51	+ 165	+ 183
514,3	+ 130	+ 100	- 96	- 120	- 79	- 47	+ 154	+ 173
515	+ 148	+ 140	- 142	- 142	- 139	- 132	+ 151	+ 150
516	+ 640	+ 649	- 663	- 626	- 687	- 584	+ 621	+ 584
517,8	+ 851	+ 839	- 869	- 829	- 882	- 868	+ 838	+ 800
518	+ 808	+ 790	- 820	- 784	- 828	- 808	+ 800	+ 766
519	+ 7	- 1	+ 5	- 5	+ 11	+ 17	+ 15	+ 21
520,6	- 417	- 422	+ 439	+ 408	+ 456	+ 457	- 400	- 373
521	- 373	- 384	+ 403	+ 368	+ 423	+ 430	- 353	- 322
522	+ 659	+ 599	- 609	- 629	- 573	- 521	+ 695	+ 707
523	+ 1268	+ 1189	- 1216	- 1219	- 1179	- 1109	+ 1505	+ 1299
524	+ 1247	+ 1169	- 1195	- 1199	- 1158	- 1088	+ 1284	+ 1280
525	+ 122	+ 95	- 92	- 115	- 70	- 48	+ 144	+ 160
526,4	- 622	- 605	+ 622	+ 605	+ 693	+ 604	- 621	- 602
527	- 610	- 588	+ 606	+ 590	+ 603	+ 582	- 613	- 596
528	+ 451	+ 461	- 481	- 443	- 502	- 507	+ 430	+ 397
529,7	+ 1195	+ 1186	- 1235	- 1164	- 1261	- 1246	+ 1167	+ 1104
530	+ 1187	+ 1181	- 1227	- 1159	- 1255	- 1245	+ 1159	+ 1097
531	+ 321	+ 328	- 341	- 318	- 352	- 352	+ 314	+ 294
532	- 391	- 419	+ 453	+ 387	+ 464	+ 478	- 360	- 320
533,5	- 586	- 408	+ 450	+ 582	+ 462	+ 477	- 354	- 313
534	+ 527	+ 264	- 259	- 504	- 210	- 158	+ 376	+ 410
535	+ 903	+ 825	- 837	- 863	- 790	- 722	+ 950	+ 966

ТАБЛИЦА 4
Секуларна померања калоричног екватора

Хиљаде година пред 1800 по Хр.	Геогр. широта калоричног екватора	Хиљаде година пред 1800 по Хр.	Геогр. широта калоричног екватора	Хиљаде година пред 1800 по Хр.		Хиљаде година пред 1800 по Хр.	
				Геогр. широта калоричног екватора	Геогр. широта калоричног екватора	Геогр. широта калоричног екватора	Геогр. широта калоричног екватора
0	+3° 2'	85	-5° 8'	180	-3°37'	270	-3° 9'
0,6	+3° 5'	90	+5°54'	185	+5°45'	270,7	-3°21'
5	+0°46'	94	+6°40'	187,5	+7°41'	275	-1°26'
10	-3°10'	95	+6°27'	190	+5°59'	280	+4° 5'
11,1	-3°21'	100	-0°32'	195	-4°25'	281,8	+4°53'
15	-1°31'	105,1	-7°16'	198,5	-8° 4'	285	+5° 6'
20	+2°53'	110	-1° 8'	200	-7°18'	290	-4° 2'
22,1	+3°20'	115	+6°27'	205	+5°11'	299,7	-5°58'
25	+1°57'	116,1	+6°44'	209,6	+7°39'	295	-4°24'
30	-2°29'	120	+2°65'	210	+7°55'	300	+5°18'
32,7	-2°48'	125	-4°19'	215	+1°42'	305,1	+6°20'
35	-2°12'	127,7	-5°26'	220	-7° 0'	305	+5°13'
40	+0°11'	130	-4°18'	220,8	-7° 9'	310	-2°59'
45	+1°48'	135	+1°29'	225	-2°26'	313,4	-5°52'
47,1	+1°59'	140	+4°47'	230	+5°48'	315	-5° 2'
50	+1°59'	145	+1°24'	232,4	+6° 5'	320	+2°54'
55	-0°32'	150	-4° 5'	235	+3°11'	323,5	+4°61'
60	-3°12'	152,9	-6°16'	240	-5°24'	325	+3°57'
60,6	-3°21'	155	-3°52'	242,9	-4° 3'	330	+2°15'
65	-1°27'	160	+2°15'	245	-3° 6'	332,8	-3°42'
70	+4°11'	164,3	+5°30'	250	+0°44'	335	-2°40'
71,9	+5°11'	165	+5°27'	255	+2°15'	340	+2°16'
75	+3°28'	170	+0°29'	256,5	+2°50'	349,1	+3° 6'
80	-4°12'	175	-6° 3'	260	+1°34'	345	+1°35'
82,8	-6°13'	176,3	-6°51'	265	-0°38'	350	-2°52'

ТАБЛИЦА 4
(Наставак)

Хиљаде година пред 1800 по Хр.	Геогр. широта калоричног екватора	Хиљаде година пред 1800 по Хр.		Хиљаде година пред 1800 по Хр.		Хиљаде година пред 1800 по Хр.	
		Геогр. широта калоричног екватора					
350,9	-3° 4'	415	+1°26'	475,6	+7°25'	540	-4°18'
355	-0°29'	415,5	+1°29'	480	+1°40'	545	+3° 2'
359,9	+3°23'	420	-0°28°	485	-6°32'	548,6	+7° 0'
360	+3°24'	424	-2°27'	486,1	-6°28'	550	+6°59'
365	-0°18'	425	-2°29'	490	-2°21'	555	-2°48'
369,6	-3°38'	430	+1°28'	495	+3°58'	559	-8°27'
370	-3°37'	433,6	+4°12'	497,1	+4°15'	560	-8°16'
375	+0°25'	435	+4° 9'	500	+5°29'	565	+2° 7'
379,7	+3°40'	440	-2°13'	505	-1°49'	569,4	+3°37'
380	+3°58'	444	-5°38'	508,9	-2° 4'	570	+3°28'
385	-0°25'	445	-5°28'	510	-2° 6'	575	-1°10'
389,6	-3°19'	450	+2° 4'	515	-0° 0'	579,7	-7°44'
390	-3°16'	454,8	+6°39'	520	+0°26'	580	-7°40'
395	+0°39'	455	+6°58'	525	+2° 0'	585	+0° 1'
399,9	+2°21'	460	+1°33'	525,3	+2° 4'	590	+3°56'
400	+2°11'	465	-1°15'	530	+1°46'	590,3	+6°55'
405	-0°56'	465,4	-1°21'	535	-2°51'	595	+0°24'
407,7	-1°24'	470	-0°56'	537,8	-4°42'	600	-5° 4'
410	-0°44'	475	+1°19'				

ТАБЛИЦА 5

Секуларне промене летњих топлотних количина упућених калоти Земљиној, ограниченој упоредником од 55° северно, и њихове последице.

$\Delta_1 Q_s$ промене, изазване варијабилитетом астрономских елемената.

$\Delta_2 Q_s$ промене, изазване варијабилитетом рефлексионе способности калоте.

ΔH померања границе вечног снега, изазвана обема предњим променама.

Хиљаде година пред 1800 по Хр.	$\Delta_1 Q_s$			$\Delta_2 Q_s$			ΔH		
	каноничне јединице			метара					
0,6	+ 20	+ 21	+ 41	65	-140	-172	- 312		
5	+ 292	+ 225	+ 515	70	-466	-728	-1194		
10	+ 546	+ 268	+ 814	71,9	-496	-789	-1285		
11,1	+ 521	+ 268	+ 789	75	-352	-509	- 861		
15	+ 319	+ 234	+ 553	80	+198	+172	+ 370		
20	-260	-343	- 603	82,8	+418	+262	+ 680		
22,1	-452	-700	-1152	85	+477	+268	+ 745		
25	-480	-756	-1236	90	+271	+213	+ 484		
30	-225	-296	- 521	94	+115	+107	+ 922		
32,7	-143	-176	- 319	95	+158	+121	+ 249		
35	-106	-126	- 232	100	+ 89	+ 87	+ 176		
40	+ 27	+ 28	+ 55	105,1	- 12	- 13	- 25		
45	+ 355	+ 259	+ 572	110	-291	-403	- 694		
47,1	+ 307	+ 299	+ 536	115	-567	-943	-1510		
50	+ 296	+ 255	+ 521	116,1	-566	-942	-1508		
55	+ 140	+ 130	+ 270	120	-280	-384	- 664		
60	+ 99	+ 96	+ 195	125	+408	+260	+ 668		
60,6	+ 91	+ 89	+ 180	127,7	+550	+268	+ 818		

Хиљаде година пред 1800 по Хр.	$\Delta_1 Q_s$			$\Delta_2 Q_s$			ΔH		
	каноничне јединице			метара					
65	-140	-172	- 312	70	-466	-728	-1194		
71,9	-496	-789	-1285	75	-352	-509	- 861		
80	+198	+172	+ 370	82,8	+418	+262	+ 680		
85	+477	+268	+ 745	90	+271	+213	+ 484		
94	+115	+107	+ 922	95	+158	+121	+ 249		
100	+ 89	+ 87	+ 176	105,1	- 12	- 13	- 25		
110	-291	-403	- 694	115	-567	-943	-1510		
116,1	-566	-942	-1508	120	-280	-384	- 664		
125	+408	+260	+ 668	127,7	+550	+268	+ 818		

ТАБЛИЦА 5

(Наставак)

Хиљаде година пред 1800 по Хр.	$\Delta_1 Q_s$			$\Delta_2 Q_s$			ΔH		
	каноничне јединице			метара					
130	+578	+268	+ 846						
135	+206	+177	+ 385						
140	-122	-147	- 269						
145	-185	-256	- 421						
150	- 55	- 62	- 117						
152,2	+ 20	+ 21	+ 41						
155	+ 18	+ 19	+ 37						
160	- 45	- 51	- 96						
164,5	- 35	- 39	- 74						
165	- 8	- 9	- 17						
170	+306	+299	+ 535						
175	+517	+268	+ 785						
176,5	+476	+268	+ 744						
180	+175	+156	+ 531						
185	-390	-580	- 970						
187,5	-514	-828	-1342						
190	-471	-739	-1210						
195	- 31	- 34	- 65						
198,5	+247	+201	+ 448						
200	+269	+212	+ 481						
205	+137	+127	+ 264						
209,6	+ 82	+ 81	+ 163						
210	+102	+ 99	+ 201						
215	+359	+248	+ 607						
220	+465	+267	+ 732						

Хиљаде година пред 1800 по Хр.	$\Delta_1 Q_s$			$\Delta_2 Q_s$			ΔH		
	каноничне јединице			метара					
220,8	+405	+ 259	+ 664						
225	-145	- 179	- 324						
230	-659	-1155	-1814						
232,4	-641	-1112	-1753						
235	-456	- 708	-1164						
240	- 14	- 15	= 99						
242,2	+191	+ 167	+ 358						
245	+378	+ 255	+ 631						
250	+414	+ 261	+ 675						
255	+298	+ 190	+ 418						
260	+ 23	+ 24	+ 47						
265	- 20	- 22	- 42						
270	- 65	- 74	- 139						
270,7	- 66	- 76	- 142						
275	-197	- 254	- 451						
280	-326	- 463	- 789						
281,8	-283	- 389	- 672						
285	- 72	- 83	- 155						
290	+44	+ 266	+ 710						
295	-576	+ 268	+ 844						
299,7	- 576	+ 268	+ 844						
300	+182	+ 161	+ 345						
303,1	-135	- 165	- 300						
305	-258	- 348	- 606						

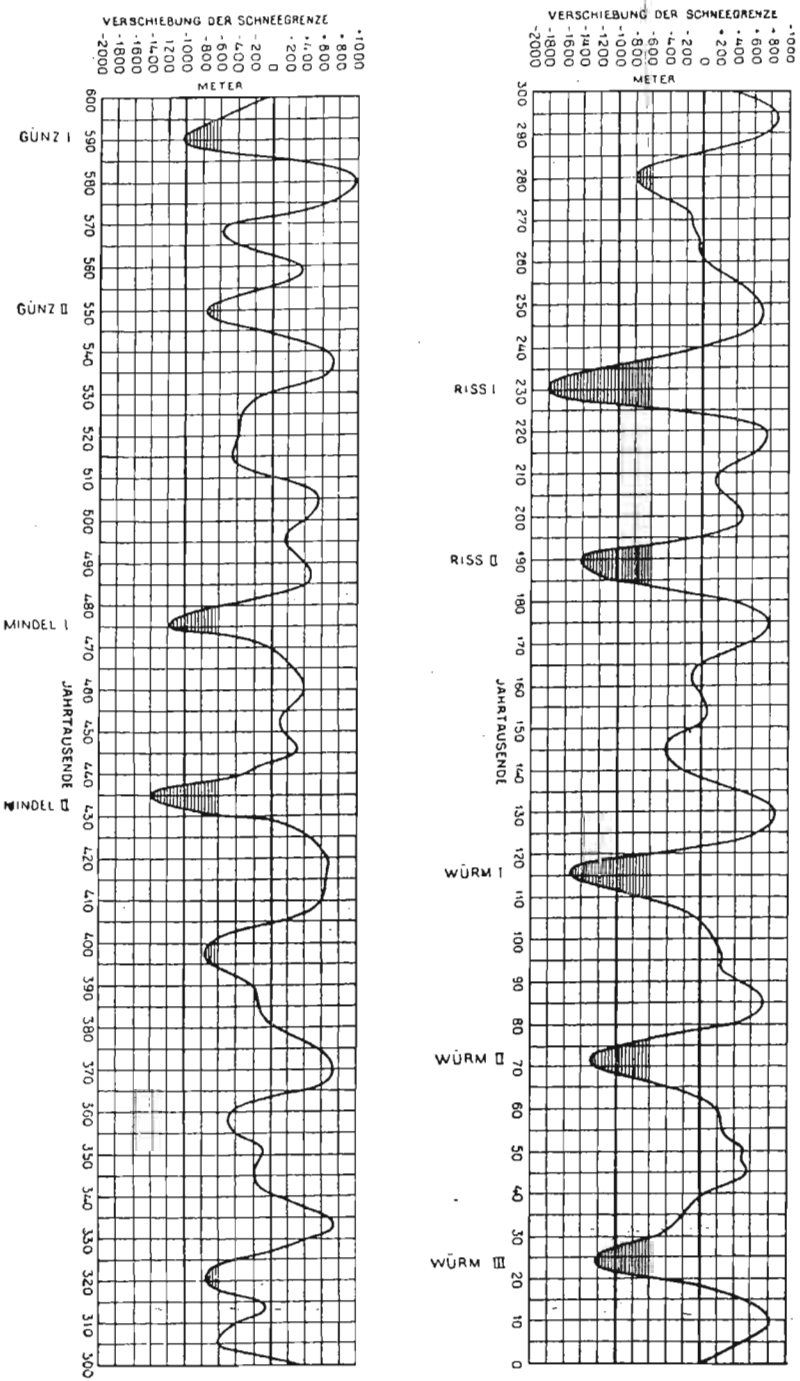
ТАБЛИЦА 5
(Наставак)

Хиљаде година пре 1800 по Хр.	$\Delta_1 Q_s$	$\Delta_2 Q_s$	ΔH
	каноничне јединице	метара	
310	-178	-925	-403
313,4	-31	-34	-65
315	-54	-61	-115
320	-311	-437	-748
323,3	-283	-389	-672
325	-181	-230	-411
330	+201	+173	+574
339,8	+470	+267	+737
335	+404	+259	+663
340	+30	+32	+62
342,1	-64	-74	-138
345	-83	-97	-180
350	-49	-55	-104
350,9	-45	-51	-96
355	-177	-924	-401
359,9	-208	-270	-478
360	-207	-269	-476
365	+158	+144	+502
369,6	+449	+266	+715
370	+460	+267	+727
375	+331	+259	+570
379,9	+62	+63	+125
380	+54	+55	+109
385	-65	-74	-139
389,6	-89	-104	-193

Хиљаде година пре 1800 по Хр.	$\Delta_1 Q_s$	$\Delta_2 Q_s$	ΔH
	каноничне јединице	метара	
390	-108	-129	-237
395	-278	-381	-659
399,2	-515	-444	-759
400	-302	-421	-723
405	+45	+46	+91
407,7	+292	+186	+408
410	+328	+257	+565
415	+370	+251	+621
415,5	+362	+249	+611
420	+389	+256	+645
424	+273	+214	+487
425	+224	+188	+412
430	-260	-351	-611
433,6	-501	-800	-1501
435	-520	-900	-1420
440	-164	-206	-370
444	+88	+86	+174
445	+156	+142	+298
450	+72	+72	+144
454,8	+72	+72	+144
455	+82	+81	+163
460	+215	+182	+397
465	+130	+122	+252
465,4	+125	+118	+243
470	-13	-14	-27

ТАБЛИЦА 5
(Наставак)

Хиљаде година пре 1800 по Хр.	$\Delta_1 Q_s$	$\Delta_2 Q_s$	ΔH
	каноничне јединице	метара	
475	-455	-706	-1161
475,6	-466	-798	-1194
480	-264	-358	-622
485	+196	+170	+366
486,1	+233	+193	+426
490	+198	+172	+370
495	+82	+81	+163
497,1	+90	+88	+178
500	+198	+172	+370
505	+289	+292	+511
508,2	+144	+133	+277
510	+21	+22	+43
515	-205	-265	-470
520	-178	-225	-403
525	-163	-204	-367
525,5	-156	-194	-350
530	+27	+28	+55
535	+415	+261	+676
537,8	+445	+266	+711
540	+386	+255	+641
545	-60	-68	-128
548,6	-300	-418	-718
550	-392	-456	-778
555	-45	-51	-96
559	+185	+170	+355
560	+174	+155	+329
565	-137	-167	-304
569,4	-246	-399	-575
570	-216	-282	-498
575	+357	+247	+604
579,7	+701	+268	+969
580	+703	+268	+971
585	+221	+186	+407
590	-411	-619	-1030
590,3	-419	-635	-1054
595	-285	-393	-678
600	-43	-48	-91



Секуларна помењања границе бечог снега на северној капоти Земљиниј, ограничено упоредником од 55° .

Секуларна помењања границе бечог снега на јужној капоти Земљиниј, ограничено упоредником од 55° .

